

«МОСКОВСКИЙ ФИЗИКО-ТЕХНИЧЕСКИЙ ИНСТИТУТ (национальный
исследовательский университет)»

Физтех-школа прикладной математики и информатики

Кафедра «Интеллектуальные системы»

Курдюкова Антонина Дмитриевна

Снижение размерности фазового пространства в задачах канонического корреляционного анализа

03.03.01 – Прикладные математика и физика

ВЫПУСКНАЯ КВАЛИФИКАЦИОННАЯ РАБОТА БАКАЛАВРА

Научный руководитель:

д.ф.-м.н. Стрижов Вадим Викторович

Москва

2022

Содержание

1	Введение	5
2	Постановка задачи	7
3	Теоретическая часть	7
3.1	Теорема Такенса	9
3.2	Метод сходящихся перекрестных отображений	10
3.3	Метод проекций на латентные структуры	10
4	Методы Сугихары	12
4.1	Simplex projection	12
4.2	Sequential Locally Weighted Global Linear Maps (S-Map)	12
4.3	Multivariate embeddings	13
4.4	Multiview embeddings	13
5	Вычислительный эксперимент	13
5.1	Акселерометр + гироскоп, ходьба	14
5.2	Несвязанные сигналы, акселерометр + акселерометр	15
5.3	Медленная ходьба, акселерометр + гироскоп	15

Аннотация

Данная работа посвящена задаче снижения размерности фазового пространства методами канонического корреляционного анализа. Исследуется связь между методом канонического корреляционного анализа и методом сходящихся перекрестных отображений Сугихары. Вид прогностических моделей представляется в виде условия принадлежности двух аттракторов к общей динамической системе. Аттракторы восстанавливаются в исходном и целевом фазовых пространствах. В работе рассмотрены метод проекций на латентные структуры, метод канонического корреляционного анализа, их нелинейные модификации, метод сходящихся перекрестных отображений, seq2seq, Neural ODE. Сформулирован вариант теоремы о вложениях Такенса для проверки удовлетворения методов прогноза условиям Сугихары. Решается прикладная задача в восстановлении траектории движения руки человека по сигналу акселерометра. Рассматривается видеоряд ходьбы человека с акселерометром на руке.

Ключевые слова: *снижение размерности, фазовое пространство, аттрактор, метод сходящихся перекрестных отображений, теорема Такенса о вложениях*

1 Введение

Решается задача прогнозирования сигналов походки человека. Такие сигналы обладают сложной структурой. Под сложной структурой понимаются зависимости и изменяющийся период. Рассматриваются два связанных фазовых пространства. Одно из них является исходным, другое - целевым. Например, фазовое пространство сигналов акселерометра и гироскопа одного мобильного устройства; пространства сигналов двух акселерометров в правой и левой руке человека; пространство траектории движения руки, восстановленной по видеоряду движения человека, и пространство сигнала акселерометра на этой руке.

Целью работы является построение более простой модели, работающей не хуже уже существующих моделей прогнозирования временных рядов.

Для улучшения качества прогноза, а также для упрощения прогностической модели предлагается учесть зависимости между временными рядами, а также перейти в пространство меньшей размерности. Снижение размерности позволяет учитывать внутреннее низкоразмерное представление временных рядов в прогностической модели.

Для определения наличия связи между временными рядами используется метод сходящегося перекрестного отображения (convergent cross mapping, CCM) [?, ?]. Метод CCM проверяет, насколько близки точки фазового пространства временного ряда s_1 , соответствующие ближайшим соседям ряда s_2 . Под близостью понимается существование взаимно однозначного соответствия, которое отображает окрестность фазовой траектории s_1 в окрестность фазовой траектории s_2 .

Для снижения размерности траекторного пространства используются метод проекций в латентное пространство (partial least squares PLS) [?, ?], его нелинейная мо-

дификация [?], seq2seq[..], NeuralODE[..]. Снижение размерности позволяет сделать прогностическую модель более устойчивой, изучить связь между главными компонентами временных рядов, а также найти траекторное подпространство, в котором удастся обнаружить связь между временными рядами.

В работе исследуется связь между методами корреляционного анализа и методом сходящегося перекрестного отображения. Требуется построить прогностическую модель, связывающую метод сходящегося перекрестного отображения и методы канонического корреляционного анализа. Для ССМ нет способа выбора собственного подпространства, в котором аппроксимируется многообразие компакта и работает прогностическая модель. На текущий момент выбор собственного пространства осуществляется перебором по главным компонентам, например в [?]. Работа Исаченко [..] по PLS дает возможность обобщить методы выбора подпространства с PLS на ССМ.

Определение 1 *Динамическая система – множество элементов, для которого задана функциональная зависимость между временем и положением в фазовом пространстве каждого элемента системы.*

Динамическая система представляет собой такую математическую модель некоего объекта, процесса или явления, в которой пренебрегают «флуктуациями и всеми другими статистическими явлениям».

Определение 2 *Многообразие – хаусдорфово топологическое пространство со счётной базой, каждая точка которого обладает окрестностью, гомеоморфной евклидову пространству \mathbb{R}^n*

2 Постановка задачи

Дан временной ряд $s_1 = \{s_i^1\}_{i=1}^{N_1}$. Значения временного ряда заданы в моменты времени $1, \dots, N_1$. Требуется построить прогноз ряда на следующие m значений $N_1 + 1, \dots, N_1 + m$.

При построении прогностической модели \mathcal{F} нужно учесть влияние ряда $s_2 = \{s_i^2\}_{i=1}^{N_2}$ на ряд s_1 . Значения ряда s_2 в моменты времени $N_1 + 1, \dots, N_1 + m$ известны, то есть $N_2 > N_1 + m$.

Для построения прогноза ряда s_1 на один шаг по времени вперед будем учитывать L предыдущих значений этого ряда и все предшествующие текущему моменту времени значения ряда s_2 . Тогда прогностическая модель имеет вид:

$$\hat{s}_{t+1}^1 = \mathcal{F}(\hat{\mathbf{w}}, s_t^1, \dots, s_{t-L+1}^1, s_1^2, \dots, s_t^2), \quad (1)$$

$$\hat{\mathbf{w}} = \arg \min_{\mathbf{w}} L(\mathbf{w}, s_1, \hat{s}_1),$$

где L — функция потерь.

3 Теоретическая часть

Пусть $s_1 = \{s_i^1\}_{i=1}^{N_1}$ и $s_2 = \{s_i^2\}_{i=1}^{N_2}$ — заданные временные ряды. Опишем, как строится фазовое пространство \mathbf{X} временного ряда. Строится ганкелева матрица для ряда s_1 :

$$\mathbf{H}_1 = \begin{bmatrix} s_1 & \dots & s_{n_1} \\ s_2 & \dots & s_{n_1+1} \\ \vdots & \ddots & \vdots \\ s_{k_1} & \dots & s_{N_1} \end{bmatrix}^T = \left[\mathbf{s}_1^1, \mathbf{s}_2^1, \dots, \mathbf{s}_{k_1}^1 \right], \quad k_1 = N_1 - n_1 + 1,$$

где n – ширина окна. Аналогично для временного ряда s_2 . Тогда вектора $s_1^1, s_2^1, \dots, s_k^1$ образуют фазовую траекторию, или, иными словами, аттрактор M_1 временного ряда s_1 . На эти же вектора натянута фазовое пространство X_1 размерности n_1 временного ряда s_1 . Формально, под терминами *фазовое пространство* и *аттрактор* будем понимать следующее:

Определение 3 *Фазовое пространство X динамической системы – совокупность всех допустимых состояний динамической системы.*

Определение 4 *Аттрактор M – компактное подмножество фазового пространства динамической системы, все траектории из некоторой окрестности которого стремятся к нему при времени, стремящемся к бесконечности.*

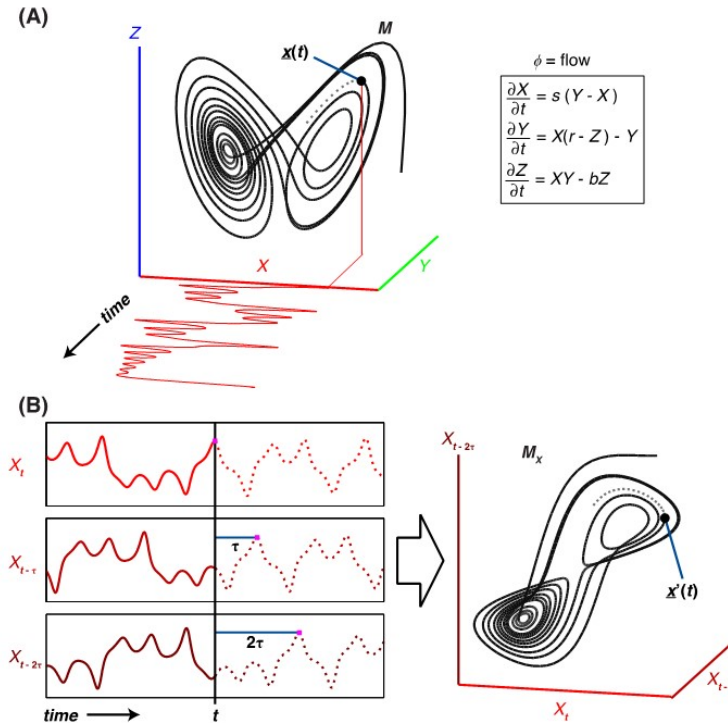


Figure 3. Empirical dynamic modeling
(A) Example Lorenz system. The attractor manifold M is the set of states that the system progresses through time. Projection of the system state from M to the coordinate axis X generates a time series. **(B)** Lags of the time series X are used as coordinate axes to construct the shadow manifold M_x which is diffeomorphic (maps 1:1) to the original manifold M . The visual similarity between M_x and M is apparent.

Рис. 1

Динамическая система может быть описана системой дифференциальных уравнений, где каждая переменная может зависеть от состояния и изменения других оставшихся переменных. Евклидово пространство данных переменных образует пространство состояний системы. Многообразие состояний системы в этом пространстве образует аттрактор \mathbf{M} . Проекция многообразия \mathbf{M} на координатные оси дает временной ряд соответствующей наблюдаемой. С другой стороны, по временному ряду наблюдаемой можно восстановить многообразие аттрактора в фазовом пространстве.

3.1 Теорема Такенса

Теорему Такенса можно сформулировать следующим образом:

Теорема 1 Пусть \mathbf{M} — компактное многообразие размерности d , ϕ — гладкое векторное поле, X — гладкая функция, заданная на \mathbf{M} .

Тогда отображение $\Phi_{(\phi, X)(\underline{m})} : \mathbf{M} \rightarrow \mathbb{R}^{2d+1}$, которое задается следующим образом:

$$\Phi_{(\phi, X)(\underline{m})} = \langle X(\underline{m}), X(\phi(\underline{m})), X(\phi^2(\underline{m})), \dots, X(\phi^{2d}(\underline{m})) \rangle,$$

является вложением, где ϕ — поток, заданный на \mathbf{M} .

Теорема показывает, что скрытое представление \mathbf{M}_X исходного многообразия \mathbf{M} восстанавливается по одной лишь его проекции, то есть по временному ряду X_t . Теорема проиллюстрирована на рисунке 1 (В). Изображен один временной ряд X_t и две его копии $X_{t-\tau}$ и $X_{t-2\tau}$, сдвинутые на τ и 2τ . Тогда в координатном пространстве $(X_t, X_{t-\tau}, X_{t-2\tau})$ временные ряды представляют собой скрытое представление \mathbf{M}_X многообразия \mathbf{M}_X . Представление \mathbf{M}_X сохраняет важные математические свойства исходной динамической системы, например, топологию исходного многообразия. Более того, метод представляет взаимно однозначное соответствие между \mathbf{M} и \mathbf{M}_X .

3.2 Метод сходящихся перекрестных отображений

Метод сходящихся перекрестных отображений (convergent cross mapping, СММ) используется для исследования временных рядов на наличие причинно-следственной связи. Корреляция не подразумевает причинно-следственную связь между рядами. Метод основан на теореме Такенса о вложениях. В общем случае многообразие аттрактора динамической системы может быть восстановлено по одной наблюдаемой \mathbf{X} .

Согласно методу временной ряд s_1 может быть восстановлен по ряду s_2 только если временной ряд s_2 связан с рядом s_1 . Временные ряды считаются связанными, если окрестность фазовой траектории \mathbf{x} временного ряда s_1 взаимно однозначно отображается в окрестность фазовой траектории \mathbf{y} ряда s_2 . Иными словами,

Определение 5 *Аттракторы \mathbf{M}_1 и \mathbf{M}_2 наблюдаемых \mathbf{X} и \mathbf{Y} , если \mathbf{X} и \mathbf{Y} принадлежат одной динамической системе.*

3.3 Метод проекций на латентные структуры

Метод проекций на латентные структуры PLS [?, ?] используют для нахождения фундаментальных зависимостей между двумя матрицами \mathbf{X} и \mathbf{Y} . Отбираются наиболее значимые признаки. Новые признаки являются их линейными комбинациями. Осуществляется переход в фазовое пространство меньшей размерности. Метод PLS позволяет найти фазовое подпространство, в котором наблюдается связь между главными компонентами исходных временных рядов. Это позволяет исследовать наличие связи между временными рядами.

Пусть $\mathbf{X} \in \mathbb{R}^{m \times n}$ и $\mathbf{Y} \in \mathbb{R}^{m \times r}$ — матрицы двух фазовых пространств, построенных по временному ряду s_1 и s_2 соответственно. Требуется построить прогноз вре-

менного ряда \mathbf{s}_2 с учетом связи с временным рядом \mathbf{s}_1 . Предполагается линейная зависимость между строками \mathbf{X} и \mathbf{Y} :

$$\mathbf{Y}_i = \mathbf{X}_i \cdot \boldsymbol{\Theta} + \boldsymbol{\varepsilon} \quad \mathbf{Y}_i \in \mathbb{R}^r, \mathbf{X}_i \in \mathbb{R}^n, i = 1, \dots, m, \quad (2)$$

где $\boldsymbol{\Theta}$ — матрица весов линейной зависимости, $\boldsymbol{\varepsilon}$ — вектор ошибок.

Ошибка вычисляется по формуле:

$$S(\boldsymbol{\Theta}, \mathbf{X}, \mathbf{Y}) = \|\mathbf{Y} - \mathbf{X} \cdot \boldsymbol{\Theta}\|_2^2 \quad (3)$$

Алгоритм PLS находит матрицы \mathbf{T} , \mathbf{U} , \mathbf{P} , \mathbf{Q} , с помощью которых осуществляется переход в латентное пространство согласно формулам:

$$\mathbf{X} = \mathbf{T} \cdot \mathbf{P} + \mathbf{F} \quad (4)$$

$$\mathbf{Y} = \mathbf{U} \cdot \mathbf{Q} + \mathbf{E}$$

Матрицы \mathbf{T} , \mathbf{U} наилучшим образом описывают \mathbf{X} и \mathbf{Y} . Их столбцы ортогональны. Матрицами \mathbf{P} и \mathbf{Q} определяется переход из латентного пространства в исходное. Матрицы \mathbf{X} и \mathbf{Y} — матрицы невязок.

Алгоритм PLS также позволяет определить матрицу \mathbf{W} , с помощью которой рассчитывается матрица весов $\boldsymbol{\Theta}$:

$$\boldsymbol{\Theta} = \mathbf{W}(\mathbf{P}^\top \mathbf{W})^{-1} \mathbf{Q}^\top \quad (5)$$

$$\begin{array}{ccc}
& S & \\
\swarrow & & \searrow \\
\mathbf{X} \in \mathbb{R}^{m \times n} & \xrightarrow{\mathcal{F}} & \mathbf{Y} \in \mathbb{R}^{m \times r} \\
\searrow & & \swarrow \\
& \mathbf{T}, \mathbf{U} \in \mathbb{R}^{m \times \ell} &
\end{array}
\quad (6)$$

На коммутативной диаграмме S — динамическая система, порождающая часть, \mathbf{X} — фазовое пространство, \mathbf{Y} — наблюдаемое пространство, \mathcal{F} — гомоморфизм, \mathbf{T}, \mathbf{U} — латентно-согласованные пространства, не можем измерить напрямую.

4 Методы Сугихары

4.1 Simplex projection

Метод симплексной проекции, описанный в [?], позволяет строить краткосрочный прогноз траекторий хаотических динамических систем. В работе исследуются различия между детерминированным хаосом системы и ошибкой измерения данных и шумом. Оценивается размерность фазового пространства аттрактора хаотического временного ряда. За рамками статьи остаются временные ряды конечной длины.

4.2 Sequential Locally Weighted Global Linear Maps (S-Map)

Метод, описанный в [?], рассматривает временной ряд как результат эволюции динамической системы во времени. Описаны некоторые проблемы, касающиеся прогнозирования при обнаружении нелинейностей и хаоса. Рассматривается нелинейное

прогнозирование в задаче классификации. Предлагается метод характеристики нелинейности с помощью S-map и метод анализа нескольких короткосрочных временных рядов сложного аттрактора.

4.3 Multivariate embeddings

В работе [?] рассматривается влияние нелинейных процессов на эпизодические взаимосвязи наблюдаемых переменных динамической системы. Подход заключается в построении ряда алгоритмов, от глобального линейного до локального нелинейного, для прогнозирования данных на основе вложений с запаздывающими координатами [?]. В качестве алгоритма прогнозирования используется метод S-map [?].

4.4 Multiview embeddings

Подход, описанный в [?], применяется к сложным взаимосвязанным системам. Основная идея заключается в реконструировании аттрактора многомерного временного ряда с разных точек зрения и их объединение в единую модель. Эффективен для коротких и зашумленных временных рядов.

5 Вычислительный эксперимент

Вычислительный эксперимент проводился на данных [?]. Целью вычислительного эксперимента является исследование качества предсказания метода PLS для зависимых и независимых временных рядов. Временные ряды проверяются на зависимость с помощью метода PLS.

Вычислительный эксперимент подтверждает теоретический факт о том, что

метод PLS является частным случаем метода прекрестных отображений Сугихары.

Результаты эксперимента позволяют ответить на вопрос: достаточно ли из двух сигналов, акселерометра и гироскопа, какого-либо одного из них. Этого можно достичь в случае хорошего качества восстановления одного сигнала по второму. В данном эксперименте по сигналу акселерометра восстанавливается сигнал гироскопа с помощью алгоритма PLS.

5.1 Акселерометр + гироскоп, ходьба

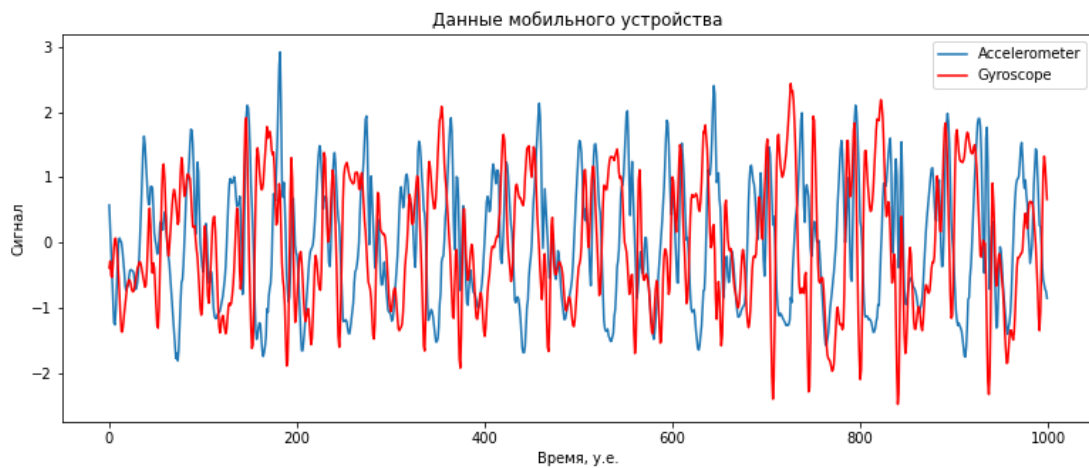
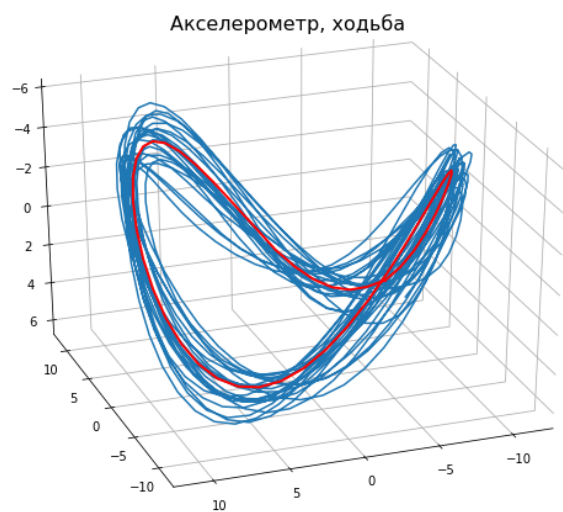
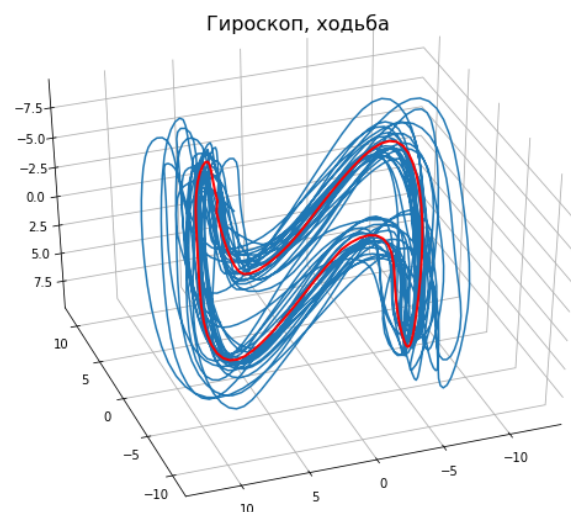


Рис. 2: Данные акселерометра и гироскопа одного мобильного устройства

Среднеквадратичная ошибка $MSE = 0.48$



(a) Акселерометр



(b) Гироскоп

Рис. 3: Траектории в фазовом пространстве

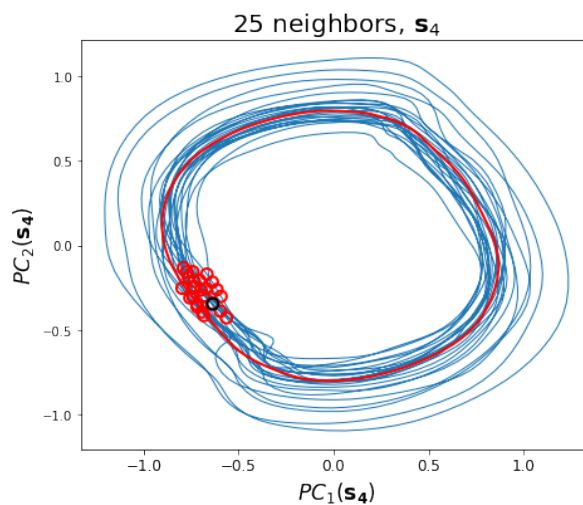
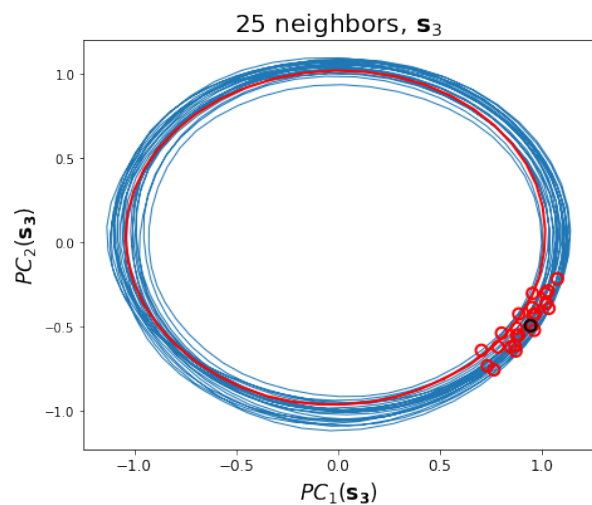


Рис. 4: Метод CCM для проверки наличия связи, PLS

5.2 Несвязанные сигналы, акселерометр + акселерометр

Среднеквадратичная ошибка $MSE = 0.86$

5.3 Медленная ходьба, акселерометр + гироскоп



Рис. 5: Предсказание для зависимых сигналов, PLS

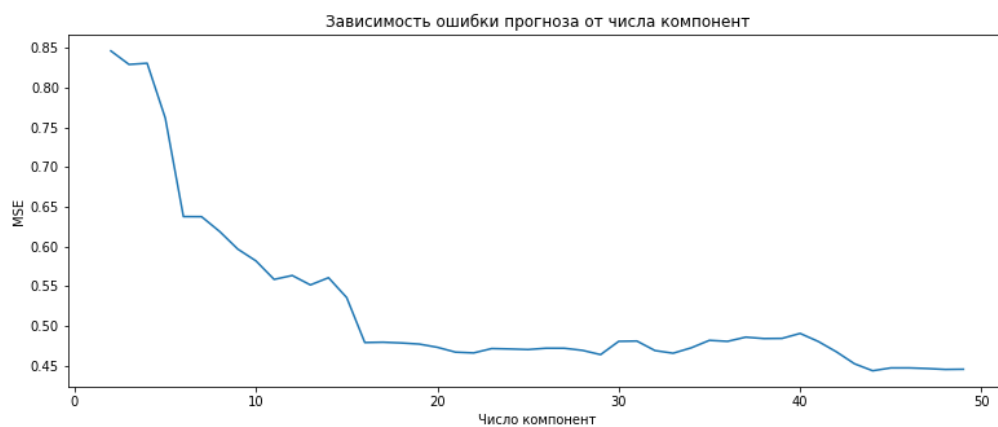


Рис. 6: Зависимость ошибки прогноза от числа компонент, зависимые ряды



Рис. 7: Предсказание для несвязанных сигналов, PLS



Рис. 8: Зависимость ошибки прогноза от числа компонент, несвязанные ряды

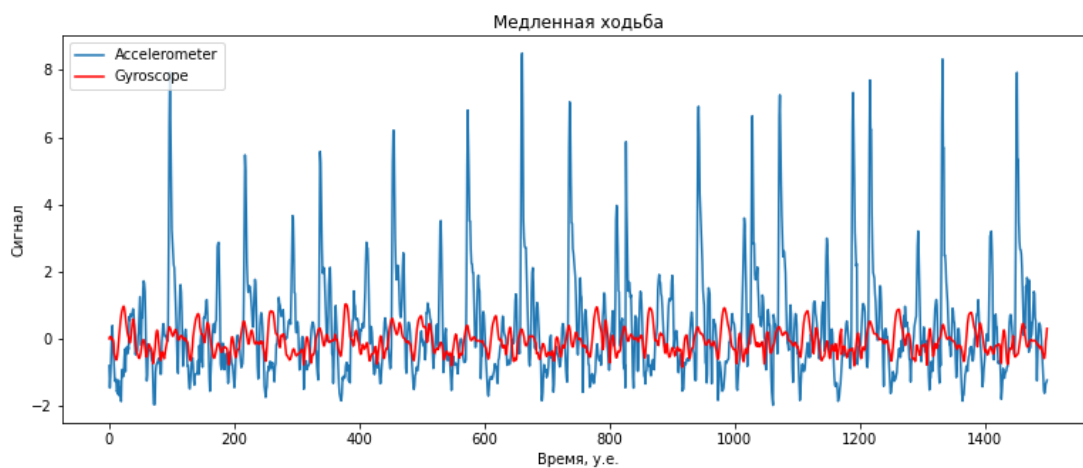
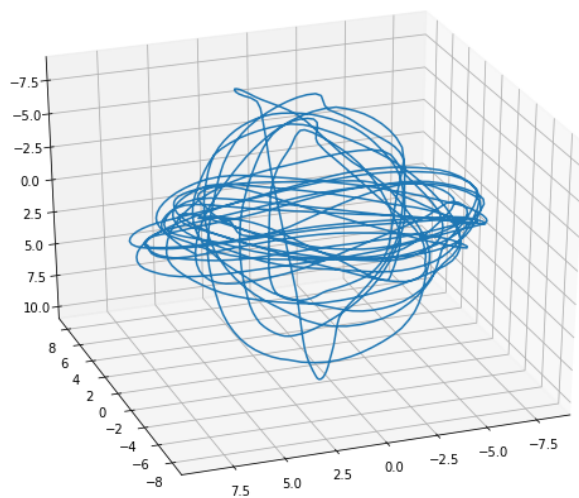
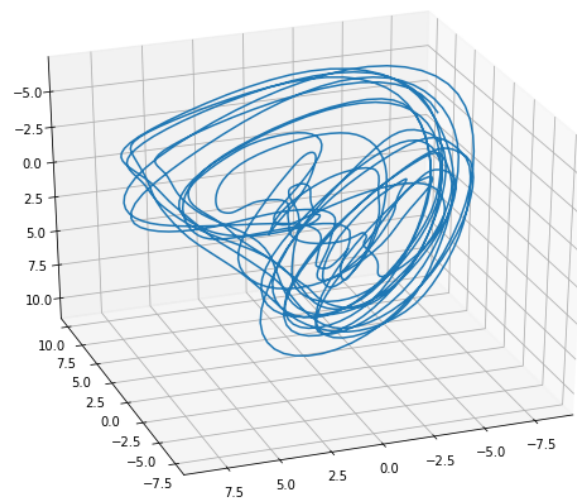


Рис. 9: Данные акселерометра и гироскопа одного мобильного устройства



(a) Акселерометр



(b) Гироскоп

Рис. 10: Траектории в фазовом пространстве

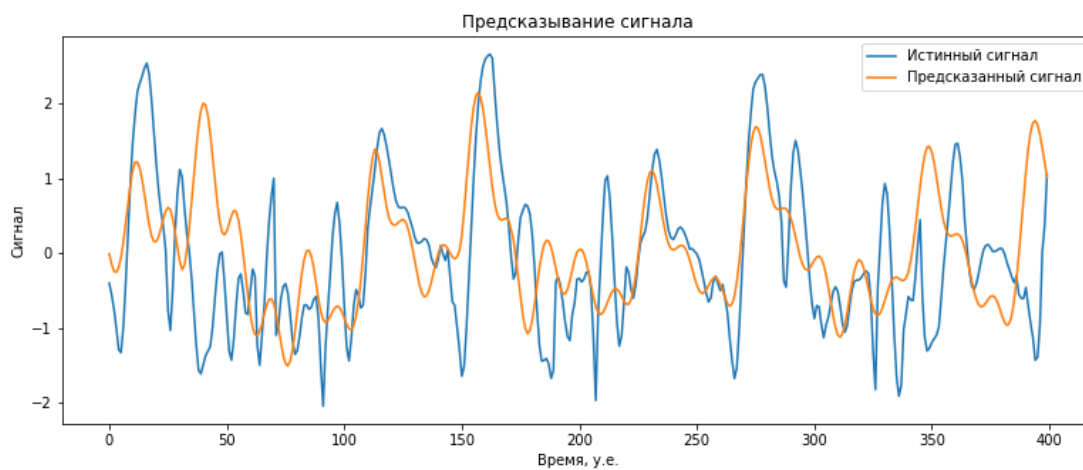


Рис. 11: Предсказание сигнала гироскопа, PLS